

DEFINIRANJE BIVARIJANTNIH VEZA IZMEDU PARAMETARA VELIKOG VODNOG VALA

Definition of Bivariate Relationships between Parameters of High Water Wave

KSENIJA SREBRENOVIĆ

Republički hidrometeorološki zavod SR Hrvatske, Zagreb
Primljeno 1. rujna 1987., u konačnom obliku 20. listopada 1987.

Sažetak: Za hidrološku stanicu Crni Lug – Vela Voda (područje Gorskog Kotara) određeni su veliki vodni valovi s obzirom na maksimalnu godišnju protoku i maksimalni volumen iznad neke reperne protoke. Analizom frekvencija odredene su veličine parametara vodnog vala – maksimalni volumen i vrijeme formiranja maksimuma, te njihove međusobne stohastičke veze definirane sa 95%-tним stupnjem osiguranja.

Ključne riječi: Analiza frekvencije, stohastička zavisnost, hidrogram vodnog vala, maksimalni volumen, maksimalna protoka, regresijska analiza, vrijeme formiranja maksimuma vodnog vala.

Abstract: High water waves are defined in respect to maximum annual discharge and maximum volume above some reference discharge. Some values of water wave parameters are determined by frequency analysis – maximum volume and the time needed for maximum formation, as well as their mutual stochastic relations defined by 95 percent of safety degree.

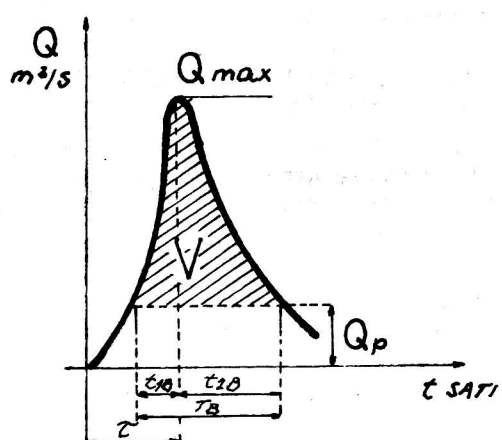
Key words: Frequency analysis, Stochastic dependence, hydrogram of water wave, maximum discharge, regression analysis, time necessary for maximum formation of water wave.

1. UVOD

Za analitičko definiranje hidrograma velikog vodnog vala potrebno je poznavati barem tri njegova osnovna parametra. To su: maksimalna protoka Q_{max} , vrijeme koncentracije τ i sadržaj vodnog vala V . Iz historijskih podataka vodnih valova jedino se maksimalna protoka može jednostavno

definirati, dok za ostala dva parametra to predstavlja praktično neostvarljivu intenciju zbog naglašenog kontinuiteta tečenja, koji zahtjeva složen proces separacije vodnog vala na dio koji otpada na sam fenomen jakog povodnja i na dio koji je vezan uz dotok podzemne vode.

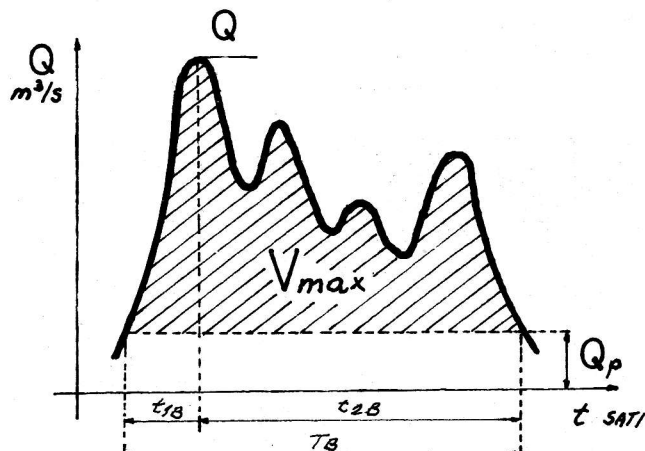
Stoga da bi zadatak simplificirali na temelju historijskih valova definirati ćemo sljedeće veličine (sl. 1).



SLUČAJ A

SLIKA 1.

Sl. 1. Slučaj A
Fig. 1. Case A



SLUČAJ B

Šlučaj B
Case B
HRVATSKO METEOROLOŠKO DRUŠTVO
ZAGREB — GRIČ 3

U slučaju A: nizove maksimalnih godišnjih protoka Q_{max} – baznog vremena T_B izoliranog hidrograma kod izabrane reperne protoke Q_p m³/sec, koje se sastoji od vremena podizanja t_{1B} i vremena opadanja t_{2B} vodnog vala,

$$T_B = t_{1B} + t_{2B}$$

– volumena V hidrograma iznad protoka praga Q_p

U slučaju B: nizove maksimalnih godišnjih volumena V_{max} – baznog vremena T_B hidrograma iznad protoke Q_p (obično se radi o složenim valovima – valovima koji imaju više vrhova)

- ukupnog volumena V_{max} iznad izabrane protoke Q_p
- maksimalnih protoka Q, koje mogu, ali ne moraju odgovarati godišnjem maksimumu Q_{max} .

Za reperne protoke usvojili smo slijedeće veličine: 0,5, 1,0, 1,5 i 2,0 m³/sec, a u tabeli 1 pregledno u kronološkom slijedu, navodimo samo za $Q_p = 2,0$ m³/sec sve analizirane parametre. Pri tome se kod niza maksimalnih (slučaj A) godišnjih protoka korespondenti parametri T_B i V odnose na izolirane hidrograme, koji su kod složenih vodnih valova separirani krivuljom recesije oblika

$$Q = Q_0 \cdot 0,961^t,$$

gdje je:

Q = protoka u opadajućem dijelu vodnog vala, koja se formira t-sati nakon protoka Q_0 ,

Q_0 – inicijalna protoka u trenutku $t = 0$,

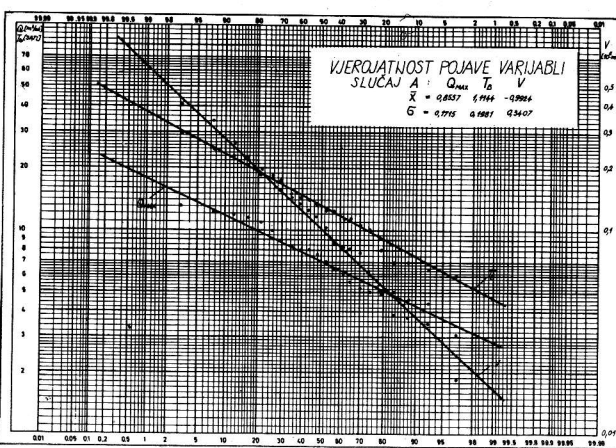
t – vrijeme od inicijalne protoke Q_0 u satima.

2. ANALIZA FREKVENCIJE OSNOVNIH PARAMETARA

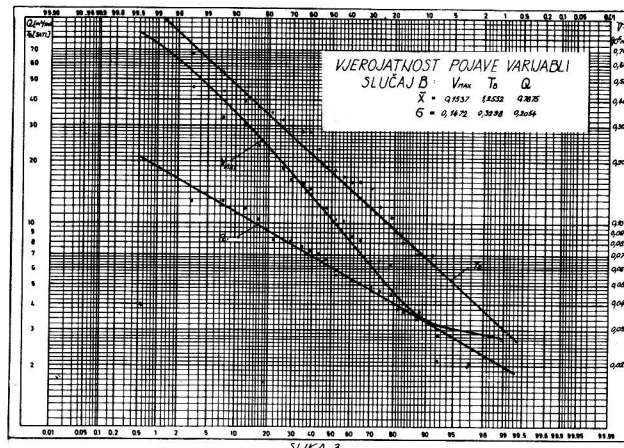
Izbor teoretske funkcije razdiobe analiziranih varijabli u uvodu definirat će se na temelju 5 funkcija koje se obično koriste za proračun hidroloških pojava. To su: Gaussova log-normalna ili Galtonova funkcija, Pearson tip III, log-Pearson tip III, te Gumbelova funkcija ekstremnih vrijednosti. Budući da se radi o relativno kratkom uzorku ($N = 22$) to je rezultat testiranja kvalitete prilagodavanja teoretske funkcije empiričkoj distribuciji testom Smirnov-Kolmogorova prilično nepouzdán. Pri tome se Galtonova distribucija pokazala kao najprihvativija teoretska funkcija vjerojatnosti kod gotovo svih analiziranih varijabli. Također grafički prikaz vjerojatnosti pojave varijabli:

- slučaj A: Q_{max} , T_B , V
- slučaj B: V_{max} , Q, T_B

Slika 2 i 3 za repernu protoku $Q_p = 2,0$ m³/sec pokazuje



Sl. 2. Vjerojatnost pojave varijabli Slučaj A
Fig. 2. Probability of occurrence of variables in case A



Sl. 3. Vjerojatnost pojave varijabli Slučaj B
Fig. 3. Probability of occurrence of variables in case B

dobru prilagodbu Galtonove distribucije. Izuzetak je varijabla V_{max} za koju je kao što je vidljivo bolje prilagodljiva Pearsonova distribucija.

NIZOVI MAKSIMALNIH GODIŠNJIH PROTOKA Q_{max} I MAKSIMALNIH GODIŠNJIH VOLUMENA V_{max} I NJIMA KORESPONDENTNIH PARAMETARA IZAD PROTOKE Q_p
TABELA 1.

GODINA	Q_p Q_{max} m ³ /s	2,0					Q_p Q_{max} m ³ /s	2,0				
		V_{max} $V \cdot 10^6$ m ³	t_{1B}	t_{2B}	$x = \frac{t_{2B}}{t_{1B}}$	T_B		V_{max} $V \cdot 10^6$ m ³	t_{1B}	t_{2B}	$x = \frac{t_{2B}}{t_{1B}}$	T_B
1963	12,5	0,1816	3,0	9,5	3,17	15,5	12,5*	0,1539	9,0	12,0	3,0	15,0
1964	8,25	0,1345	4,5	20,5	4,5	23,0	8,25*	0,1629	4,5	11,5	11,7	18,0
1965	12,7	0,2441	9,5	13,0	1,37	22,5	12,7*	0,3455	20,5	23,5	1,15	44,0
1966	11,9	0,4026	18,0	46,5	1,27	49,5	11,9*	0,6780	37,0	50,0	0,904	46,0
1967	3,04	0,20	3,0	3,0	1,0	15,0	3,0*	0,0001	4,0	3,0	1,0	3,0
1968	7,72	0,0113	5,5	9,5	1,73	15,0	7,72*	0,1813	5,5	9,5	1,73	15,0
1969	6,64	0,0008	2,5	8,0	3,20	10,5	3,75*	0,0068	5,5	10,5	1,97	15,0
1970	4,11	0,0270	3,5	3,5	1,00	7,0	4,47*	0,0210	3,5	3,5	1,00	7,0
1971	5,11	0,3307	8,5	4,5	1,80	7,0	5,11*	0,2081	2,5	4,5	1,80	7,0
1972	5,60	0,1171	6,5	12,0	1,95	15,5	5,60*	0,1032	6,5	12,0	1,85	15,5
1973	7,16	0,0067	2,5	9,0	3,60	15,5	7,16*	0,0087	1,5	9,0	6,0	15,5
1974	11,7	0,2459	3,5	16,0	0,57	19,5	11,7*	0,2202	11,0	15,5	1,11	37,5
1975	10,1	0,0350	2,0	6,0	3,00	8,0	10,1*	0,0134	4,0	6,0	3,0	8,0
1976	4,2	0,1238	1,0	3,0	3,0	10,0	4,2*	0,1241	4,0	10,0	2,5	35,0
1977	5,50	0,0289	5,0	6,5	1,30	10,5	5,5*	0,0061	4,5	10,5	4,11	23,0
1978	4,88	0,0223	4,5	9,0	4,0	14,5	4,88*	0,1045	7,5	10,0	2,44	30,0
1979	5,23	0,0066	3,5	10,5	3,0	11,0	5,23*	0,1026	3,0	11,0	3,0	30,0
1980	8,14	0,0017	7,0	16,0	0,57	25,0	8,14*	0,0336	10,5	17,5	1,67	28,0
1981	8,43	0,1504	5,5	12,0	2,18	17,5	8,43*	0,2041	3,5	15,5	3,86	17,0
1982	8,04	0,1421	4,0	8,5	4,12	12,5	8,04*	0,1399	4,5	13,0	0,867	28,0
1983	8,24	0,1026	4,5	10,0	2,22	19,5	8,24*	0,1455	4,0	20,0	2,20	30,0
1984	5,11	0,0351	2,0	9,5	2,25	9,5	5,11*	0,0070	6,5	7,5	1,67	12,0

Tabela 1. Nizovi maksimalnih godišnjih protoka Q_{max} i maksimalnih godišnjih volumena V_{max} i njima korespondentnih parametara iznad protoke Q_p .

Table 1. Series of maxima annual discharge Q_{max} , maxima annual volumes V_{max} and their corresponding parameters above discharge Q_p .

3. DEFINIRANJE BIVARIJANTNIH VEZA IZMEDU PARAMETARA VODNOG VALA

U tabeli 1 su obilježene godine u kojima se u oba niza radi o identičnim vodnim valovima. Potrebno je naglasiti da između parova ovih parametara:

- slučaj A: (Q_{max}, V) , (Q_{max}, T_B) , ili (V, T_B) ,
- slučaj B: (V_{max}, Q) , (V_{max}, T_B) , ili (Q, T_B) ,

sigurno ne postoji potpuna funkcionalna veza. Stoga je nužno definirati stohastičku povezanost ovih varijabli, tj. vjerojatnost njihove zajedničke istovremene pojave. No prije nego predemo na proračun zajedničke funkcije gustoće koja se prezentira dvodimenzionalnim normalnim zakonom, potrebno je izabrati par mjerodavnih varijabli za ovaj proračun.

Za ocjenu veličine koeficijenta korelacije između pojedinih analiziranih varijabli (koji predstavlja mjeru njihove međusobne zavisnosti) poslužiti ćemo se Spearmanovom formulom za proračun rang korelacijske.

$$r = 1 - \frac{6 \sum D^2}{N(N^2 - 1)}$$

gdje je:

D – razlika između ranga korespondentnih varijabli
N – broj parova varijabli

Proračun pokazuje, da je stohastička veza najveća za par vrijabli (Q_{\max}, V) i (V_{\max}, Q) , te da ona raste sa porastom protokе praga Q_p , što se logično moglo i očekivati. Stoga ćemo proračun zajedničke funkcije gustoće učiniti samo za ova dva para varijabli, koji su uostalom i najvažniji parametri velikog vodnog vala.

Prepostavljamo da su osnovne teoretske postavke dvo-dimenzionalne raspodjele poznate. No potrebno je napomenuti, da se ova distribucija može primijeniti ako se:

a) marginalne distribucije varijabli pokoravaju normalnom zakonu raspodjele

b) testiranjem dokaže da se zajednička funkcija distribucije pokorava normalnoj razdjeli.

Za izabrane parove varijabli (Q_{\max} , V) i (V_{max}, Q) uz pret-hodnu logaritamsku transformaciju zadovoljen je uvjet a), dok uvjet b) nema smisla statistički dokazivati budući se radi o vrlo kratkom uzorku. Rezultat regresijske analize i proračun elipse 90%-tnog rasipanja navedenih parova varijabli navodimo u tabeli 2. Može se konstatirati da je stohastička povezanost varijabli Q_{\max} i V naročito velika ($r = 0,8667$), dok je ista kod niza maks. god. volumena korespondentnih kulminirajućih protoka Q nešto manja, što se moglo i očekivati.

Ako npr. varijabla Q_{\max} poprimi diskretnu vrijednost koja odgovara povratnom periodu $P = 10$ god., taj pravac siječe našu elipsu u dvije točke A i B, koje predstavljaju donju i gornju granicu intervala zapremine V vodnog vala iznad praga $Q_p = 2,0 \text{ m}^3/\text{sec}$, definirane sa 95%-nim nivoom sigurnosti (ispod točke A i iznad točke B zapremina vodnoga vala se može naći u svega 5% slučajeva). Ordinate ovih točaka se mogu očitati grafički ili proračunati analitički.

PARAMETRI I RELACIONE DVOODIMENZIONALNE NORMALNE DISTRIBUCIJE
VARIABLI $(Q_{MAX}, V) \subset (V_{MAX}, Q)$

TABLA 2.				
BARRABIA PARACETO , RELATIVA DISTRIBUCION DISTROBUCION	MARCOVIA PROTACA Ω_{mar}	KORESPONDENTIA VOLUMEI 12000 $\Omega_{\text{cor}} = 50 \text{ m}^{-3}$ $V = 50 \text{ m}^{-3}$ $y = \log V$	MARCOVIA VOLUMEI 12000 $\Omega_{\text{cor}} = 50 \text{ m}^{-3}$ $y = \log \Omega_{\text{cor}}$	KORESPONDENTIA PROTACA Ω
PROPOZ : \bar{x}	0,85577	-0,99204	-1,08396	9,78733
STAND. OLSKAPSE: S	0,17150	0,36420	0,73458	9,80591
KOEF. PARC.: C_D	0,20461	-0,36394	0,73498	9,80400
KOEF. ASMET.: C_S	-0,21670	-0,31670	-0,63821	
KOEFFISIENT KORELACION: r		0,98667		0,75492
REGRESSION PROJEC: $A = Y - Y_{\text{reg}} = f(x_1, x_2)$		$y = 4,72449x - 4,46753$		$y = 9,80774x + 4,05283$
$x_1 = X - \bar{x} = \frac{5}{6}(Y - \bar{y})$		$x_1 = 0,93582x + 0,20793$		$x_2 = 9,45283x - 3,15306$
$X = \frac{5}{6}X_1 + \bar{x}$		$5x_1 + 5 = 5,75X - 2,75$		$5x_2 + 5 = 9,45283x + 10,12506$
PERIODA VARIANCIJE OLSKAPSE:		$2x_1 = 130,628$ $x_1 = 65,314$		$2x_2 = 226,37$
PERIODA VARIANCIJE OLSKAPSE:		$y = 2,17537x + 0,80535$		$y = 4,81707x + 8,00247$
STANDARD. OLSKAPSE:	G			
	0,37385	0,07810	0,13499	9,75498
REGRESSION COEFFICIENT: $(\Delta_1^2) + (\Delta_2^2) = 0,265$		$(Y_1 - \bar{y}_1)^2 + (Y_2 - \bar{y}_2)^2 = 4,605$		$(Y_1 - \bar{y}_1)^2 + (Y_2 - \bar{y}_2)^2 = 4,605$

Tabela 2. Parametri i relacije dvodimenzionalne normalne distribucije varijabli (Q_{\max} , V) i (V_{\max} , Q)

Table 2. Parameters and relations of two-dimensional normal distribution of variables (Q_{\max} , V) and (V_{\max} , Q)

Točke A i B su simetrično locirane u odnosu na prvi pravac regresije p_1 , odnosno točku C koja daje najvjerojatniju (očekivanu) veličinu zapremine vodnog vala kod 10 god. maksimalne protokne. U tabeli 3 i 4 dajemo prikaz rezultata proračuna, tj. veličine analiziranih varijabli (očekivane vri-

SLUČAJ 1

TABELA 3

POČATKU PERIODA P GODINA	MÄSÍČNÁ VÝSTAVKA PROTOKA Q m³/sed	NAJVMÖRŠTINNÁ VELIČINA V3	KORESPONDENTNE ZAPREMIENIE KODOVÝCH VALÔV 12000 PROTOKE PRAGA $Q_{pr} = 2,9 \text{ m}^3/\text{sek}$ a $105,7 \text{ m}$	DODAJ. V _{MAX}	DODAJ. V _{MIN}
			LÍMÉS DEFINÍRANÉ J 55% DÚM SPODNÉ OSKURANÁ		
10	14,9	- 0,614 *	- 0,316 *	- 9,813 *	
		0,243	0,483	0,122	
25	14,3	- 0,475 *	- 0,265 *	- 0,686 *	
		0,335	0,593	0,206	
50	16,1	- 0,305 *	- 0,279 *	- 0,492 *	
		0,412	0,526	0,322	

Tabela 3. Slučaj A
Table 3. Case A

SLUČAJ B

TABELA 4.

		KORISTODENTNE PROTOKE VOJNINI VALOVA MAXIMALNA ZAPREMINJE IZHAO PROTOKE TRAGA $Q_p = 3,0 \text{ m}^3/\text{s}$			
POVRATNI PERIOD P GOD/NA	MAXIMALNA VOLJEMENI VOLUMEN V_{max} $100 \cdot 10^3$	MAXIMALNA VELICINA Q_{SR}	GORICI Q_{max}	DONICI Q_{man}	
			LINES DEFINIRAN S 35,2-% TIM STUPNJEM OSIGURANJA		
10	0,348	9,886 [*] 9,70	1,219 [*] 16,40	9,758 [*] 5,70	
25	0,508	1,053 [*] 11,40	1,226 [*] 16,50	9,900 [*] 7,90	
50	0,633	1,106 [*] 12,80	1,190 [*] 15,50	1,022 [*] 19,50	

Tabela 4. Slučaj E
Table 4. Case B

jednosti za korespondentnu varijablu, gornji i donji limes definiran sa 95%-tним stupnjem osiguranja u karakterističnim povratnim periodima: 10, 25 i 50 godina. Veličine označene * predstavljaju logaritme.

4. PRORAČUN ANALITIČKOG OBLIKA HIDROGRAMA

U našem slučaju je najprikladniji slijedeći oblik vodnog vala; za val u porastu; t:

$$Q = Q_{\max} \sin^2 \frac{\pi t}{2\tau} \dots 4$$

za val u padu: t:

$$Q = Q_{\max} \left(\frac{t}{\tau} \right)^{-m} \dots 5$$

U ovim formulama su nepoznacije: τ vrijeme koncentracije i m parametar oblika vodnog vala. Za njihovo definiranje stoje nam na raspolaganju parametri: volumen vodnog vala V u bivarijantnoj funkciji sa maksimalnom protokom, bazno vrijeme hidrograma T_B u visini reperne protoke Q_p , definirano log-normalnom raspodjelom uz supoziciju iste frekvencije pojave koju ima i varijabla V . Na priloženoj skici (sl. 4) su označene veličine koje se koriste u formulama za proračun parametara τ i m . Osnovnim analitičkim proračunom nalazimo slijedeće izraze za vrijeme koncentracije:

$$\tau = \frac{T_B}{(\varphi^{-1/m} - A)} \dots 6$$

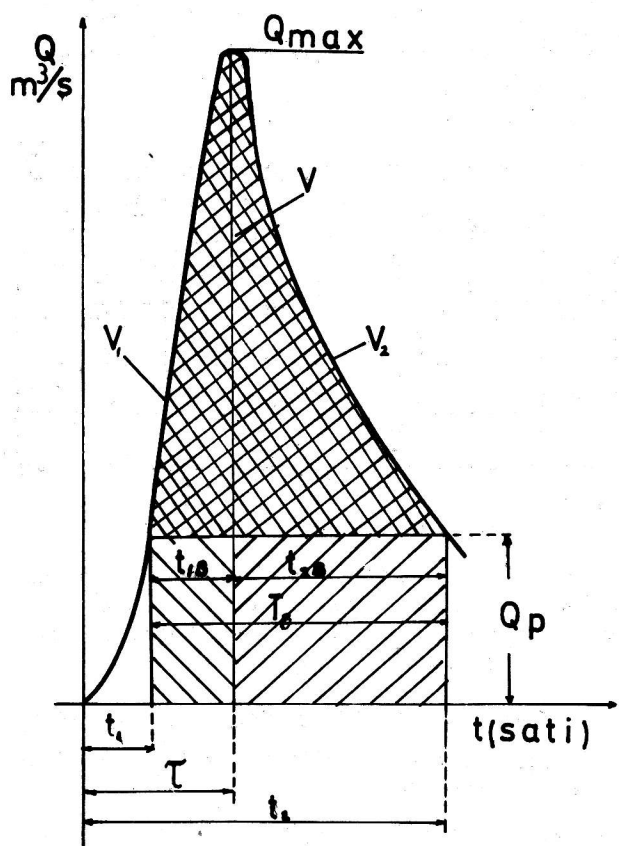
$$\tau = \frac{10^3 V}{3.6 O_{\max} \cdot B} \dots 7$$

$$\varphi = \frac{Q_p}{Q_{\max}} \dots 8$$

$$A = \frac{\arcsin \varphi^{0.5}}{90^\circ} \dots 9$$

$$B = 0.5 [1 - A + 1/\pi \sin(180^\circ A) +$$

$$+ \frac{1}{m-1} (1 - \varphi^{m-1/m}) - \varphi (\varphi^{-1/m} - A)] \dots 10$$

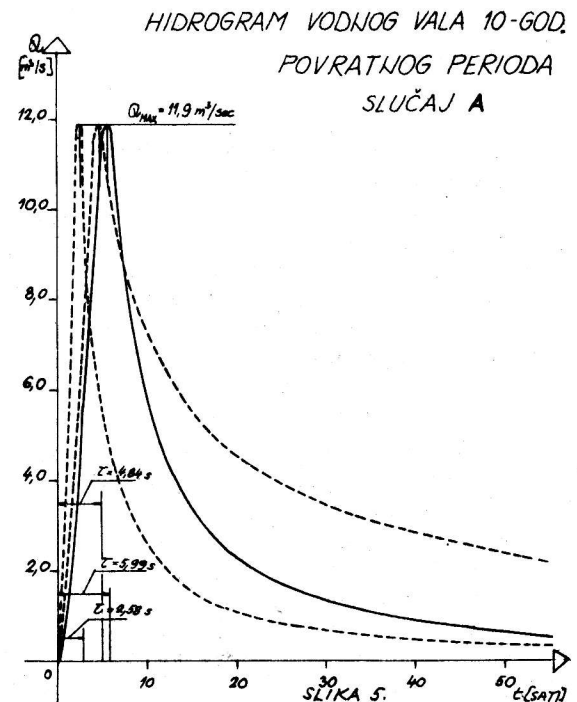


Sl. 4.
Fig. 4.

Izjednačenjem izraza 6 i 7 iterativnim postupkom nalažimo parametar m – oblika vodnog vala, a potom i τ . Grafički prikaz hidrograma 10-god. povratnog perioda za slučaj A i B prikazan je na slici 5. i 6. Proračun parametara m i τ dajemo tabelarno za tri frekvencije pojavljivanja.

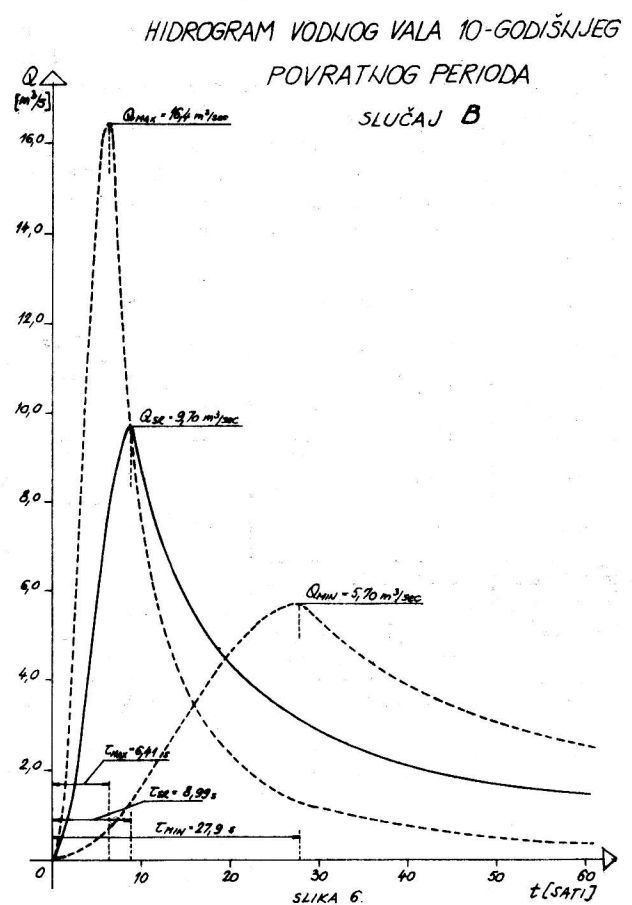
SLUČAJ A		TABELA 5										
P	Q_{max}	$Q_p = 9.5 m^3/sec$	$Q_p = 9.0 m^3/sec$	$Q_p = 8.5 m^3/sec$	$Q_p = 8.0 m^3/sec$	τ	m	τ	m	τ	m	
500	m^3/sec	m^3/sec	m^3/sec	m^3/sec	m^3/sec	sat	sat	sat	sat	sat	sat	
ZA NAJVEĆU ZAPREMINU – UČEKIVANA VRJEDNOST												
10	11.3	110.68	0.243	22.6	0.911	58.2	5.64	1.835	5.25	1.354	5.38	1.367
25	11.3	1.5755	0.335	26.0	0.921	62.6	5.65	1.246	5.36	1.273	5.35	1.292
50	16.1	9.462	29.3	0.607	79.7	5.35	1.289	5.96	1.348	5.94	1.223	
ZA MAKSIMALNU ZAPREMINU – GORJI LIMES												
10	11.3	130.12	0.103	62.9	0.928	148.5	6.49	0.658	5.46	0.865	4.84	9.679
25	14.3	2.7102	0.563	70.8	0.743	109.1	5.32	0.635	6.47	0.935	3.87	6.279
50	16.1	2.0938	9.786	71.5	0.726	155.7	5.03	0.604	5.44	0.910	3.04	9.689
ZA MINIMALNU ZAPREMINU – DONJI LIMES												
10	11.3	0.2230	0.192	14.5	0.243	44.7	5.59	0.707	0.76	1.161	2.58	1.161
25	11.3	0.0566	0.206	19.5	0.260	53.6	5.44	0.920	5.56	1.233	3.49	1.153
50	16.1	0.0257	0.382	25.0	0.208	66.4	5.07	0.907	4.50	1.297	3.65	0.905

Tabela 5. Slučaj A
Table 5. Case A



Sl. 5. Hidrogram vodnog vala 10 godišnjeg povratnog perioda
Slučaj A

Fig. 5. Hydrograph of water wave for 10-year return period.
Case A.



Sl. 6. Hidrogram vodnog vala 10 godišnjeg povratnog perioda
Slučaj B

Fig. 6. The same as Fig. 5, but for the case B.

SLUČAJ B		TABELA 6										
P	Q	$Q_p = Q_{max} m^3/sec$		$Q_p = 95 m^3/sec$		$Q_p = 50 m^3/sec$		$Q_p = 95 m^3/sec$		T	m	
		V	T_B	V	T_B	C	m	C	m			
		m^3/sec	sat	m^3/sec	sat	sat	sat	sat	sat			
GODINA m^3/sec												
ZA NAIJKVEROJATNINU PROTOKU - OČEKIVANA VRIJEDNOST												
10	9,7	0,9782	0,3468	32,6	0,5933	11,3	10,23	1,140	0,77	1,92	0,99	1,028
25	14,4	1,3116	0,208	46,7	0,744	42,0	11,20	1,142	0,08	1,979	0,66	3,927
50	19,8	1,5365	0,532	58,7	0,975	46,8	10,65	1,057	0,73	1,682	0,77	4,948
ZA MAKSIMALNU PROTOKU - GORNJI LIMES												
10	16,9	5,005	0,368	25,1	0,593	87,0	4,61	1,113	4,05	1,111	5,64	5,748
25	16,5	5,202	0,508	25,3	0,744	87,7	4,81	2,652	2,38	1,409	4,77	5,536
50	15,5	5,9612	0,533	30,0	0,975	81,4	10,79	3,381	4,57	4,021	4,501	6,729
ZA MINIMALNU PROTOKU - DONJI LIMES												
10	57	-0,638	0,3468	56,0	0,5933	15,0	37,07	1,663	16,13	1,066	27,9	4,028
25	7,9	-0,5362	0,508	56,3	0,744	25,9	8,93	0,604	8,76	0,112	11,2	0,649
50	145	-1,1377	0,533	106,9	0,975	24,7	3,60	3,403	6,16	0,321	9,38	4,948

Tabela 6. Slučaj B
Table 6. Case B

4. ZAKLJUČAK

Prezentirani teoretski hidrogrami vodnog vala prikazani na slici 5. imaju istu vjerojatnost pojave $p = 10\%$ ili $P = 10$ godina, ako se promatraju u slučaju:

A – maksimalne protoke Q_{max} odnosno u slučaju

B – sadržaja vodnog vala V_{max}

dok ostale parametre karakteriziraju ovi povratni periodi:

U slučaju a)	gornji limes	očekivana vrijednost	donji limes
Varijabla V:	23,6	4,3	1,64
Varijabla T_B :	2000	3,8	1,26
U slučaju B)			
Varijabla Q	53	6,0	1,83
Varijabla T_B	2,4	6,0	21,0

Prednost iznesene analize je u velikom broju kombinacija karakterističnih parametara vodnog vala što ostavlja projektantu veliku mogućnost izbora najkritičnijeg slučaja.

LITERATURA

Hald A., 1967: Statistical theory with engineering applications, Jons Wiley & sons, inc. New York.
Serdar. V., 1966: Udžbenik statistike, Školska knjiga, Zagreb, 1966.

Srebrenović D., 1971: Osnove matematske statistike primjenjene u hidrologiji, Seminar Jugoslavenskog komiteta za međunarodnu hidrološku deceniju, Zagreb, 1971.

Srebrenović K., 1984: Stohastička povezanost velikih voda Vuke i Dunava Rasprave, 19, Zagreb, 3-10.

SUMMARY

The presented theoretical hydrograms of water wave, shown on Fig. 5, have the same probability of occurrence $p = 10\%$ or $P = 10$ years, if they are considered in a case of A – maximum discharge Q_{max} , or B – content of water wave V_{max} , whereas the remaining parameters are characterized by the following return periods:

In case A)	the upper limit	expected value	limit
Varijable V:	23,6	4,3	1,64
Varijable T_B :	2000	3,8	1,26
In case B)			
Varijable Q	53	6,0	1,83
Varijable T_B	2,4	6,0	21,0

The advantage of this analysis is in the large number of combination characteristics for water wave parameters, which leaves the designer with considerable room for choice of the most critical cases.